

## 소음원간의 우선순위 결정을 이용한 차량의 실내 소음원 규명

김 광 준\* 0배 병 국\*\*

( Source Identification of Interior Noise of Passenger Car  
Using the Priority Determination among the Sources)

( Kwang-Joon Kim , Byeng-Kuk Bae )

### 1. 서론

소음/진동의 감소 및 제어를 위해서는 먼저 소음/진동원 및 전달경로에 대한 정보를 파악할 필요가 있으며 이로부터 소음/진동에 대한 대책을 수립해야 한다. 디젤엔진, 펀치 프레스, 단조기 등 기계구조물에서 소음/진동원의 특성과 출력에 기여하는 정도를 규명하기 위해서 다입력/단일출력(Multiple Input /Single Output) 모형이 주로 적용되어 왔다[1-3]. 구조물의 여러 지점에서 측정된 진동/소음 신호를 입력으로, 관측자 혹은 운전자의 위치에서 측정한 신호를 출력으로 간주하여 모형을 세우게 되며, 여기서 출력에 기여하는 각 입력들의 영향을 정량적으로 파악하게 된다.

다입력/단일출력 모형을 이용한 소음/진동원 규명법은 모형에 사용된 입력들 사이의 상관(correlation) 정도에 따라 주파수 응답함수(Frequency Response Function)를 이용하는 방법과 부분 기여도함수(Partial Coherence

Function)를 이용하는 방법으로 각각 나뉘어 적용된다[4,5]. 주파수 응답함수를 이용한 방법은 입력들간의 상관관계가 없거나 적은 경우에 적용하며, 입력들간의 상관관계가 무시될 수 없을 만큼 크게 존재할 경우에는 입력 신호들 간의 선형성분을 고려하여 이들의 우선순위(priority)에 따라 부분 기여도함수 기법으로 각 입력들의 출력에 대한 기여정도를 파악한다.

운전중인 기계구조물에 대해 다입력/단일출력 모형을 적용하여 소음/진동원을 규명하고자 할 경우, 입력으로 사용되는 신호들은 서로 상관관계를 갖는 경우가 많다. 본 연구에서는 공회전 중인 차량의 실내 소음을 규명하기 위한 실험을 수행 하였는데, 이때 소음/진동원으로 측정된 입력 신호들(엔진, 배전기, 발전기, 배기구등) 사이에 상관관계가 존재하고 있으므로, 부분 기여도함수 기법을 적용하여 소음/진동원을 규명하였다. 우선, 입력들 사이에 인과관계(causality)가 성립하는지를 판단하여 주파수 영역별로 입력들간의 우선순위를 부여하였다. 입력들 사이의 우선순위는 두 신호 사이에 구성되는 선형계의 충격응답함수와 힐버트 관계를

\* 한국과학기술원 기계공학과 (정회원)

\*\* 한국과학기술원 기계공학과

이용하여 파악 할 수 있다[6, 7]. 이를 다입력/단일출력 모형에 적용하여 소음/진동원을 규명하였다.

## 2. 소음/진동원 규명의 적용 이론

소음/진동원 규명을 위한 모형은 다입력/단일출력계로서 q개의 상변수 선형계  $H_i(f)$ 로 구성된다. q개의 입력  $x(t)$ 와 출력  $y(t)$ 는 측정 가능한 정상 불규칙(stationary random) 신호이며, 외부잡음  $n(t)$ 는 모형에 고려되지 않은 다른 입력들의 영향과 계의 비선형성(nonlinearity), 신호들의 비정상(nonstationary) 과정, 측정잡음의 영향 등을 포함한다. 이때 다입력/단일출력 모형의 출력 스펙트럼은 다음과 같다.

$$S_{yy}(f) = \sum_{i=1}^q \sum_{j=1}^q H_i(f) H_j(f) S_{ij}(f) + S_{nn}(f) \quad (1)$$

식 (1)로부터 입력들의 상관관계 여부에 따라서 다른 소음/진동원 규명법이 적용된다.

### 2. 1. 주파수 응답함수 (FRF) 기법

입력들이 서로 독립된 신호라면, 즉  $S_{ij}(f) = 0, (i \neq j)$ 라면 식 (1)의 출력 스펙트럼은 식 (2)와 같이 단순히 독립적인 q개의 단일입력/단일출력 모형의 합으로 표시된다.

$$S_{yy}(f) = \sum_{i=1}^q |H_i(f)|^2 S_i(f) + S_{nn}(f) \quad (2)$$

$$\text{여기서, } H_i(f) = \frac{S_{iy}(f)}{S_{yy}(f)}$$

이때  $|H_i(f)|^2 S_i(f)$ 는 i번째 입력에 의해 나타나는 출력성분으로 기여 출력 스펙트럼  $S_{yi}(f)$ 라 한다.

### 2. 2. 부분 기여도함수 (PCF) 기법

입력들 사이에 서로 상관관계가 존재하는 경우, 출력에 대한 각 입력들의 기여 정도는 입력들간의 인과관계에 따라 우선순위를 고려한 잔여(residual) 성분에 의해 부분 기여도함수로 표현 할 수 있다.

$$S_{yj,i}(f) = \gamma_{jy,i}^2(f) S_{yy,i}(f) \quad (3)$$

$$\text{여기서, } \gamma_{jy,i}^2(f) = \frac{|S_{jy,i}(f)|^2}{S_{yy,i}(f) S_{yy,j}(f)}, \quad j > i$$

즉, 부분 기여 출력 스펙트럼  $S_{yj,i}(f)$ 는 우선순위에 의해 j번째 입력에서 i번째 입력 신호의 선형성분을 제거한 잔여성분이 출력에 기여하는 양을 나타낸다.

### 3. 입력들의 우선순위의 결정

입력간의 상관관계의 존재로 부분 기여도함수를 이용하고자 할 경우, 입력들 사이의 우선순위를 어떻게 부여하느냐에 따라 전혀 다른 해석결과를 얻게된다. 선형계에서 입력  $x(t)$ 와 출력  $y(t)$ 사이의 전달함수  $H_{xy}(f)$ 가 물리적으로 실현 가능한 계라면,  $H_{xy}(f)$ 로부터 얻어지는 충격응답함수  $h_{xy}(t)$ 는 입력이 발생한 이후에서만 의미가 있게되며 그 이전의 시간에서는 '0'이 된다[8]. 즉,

$$y(t) = \int_{-\infty}^{\infty} h(\tau) x(t-\tau) d\tau = \int_0^{\infty} h(\tau) x(t-\tau) d\tau \quad (4)$$

$$\text{causal system : } h(\tau) = 0 \quad \text{for } \tau < 0$$

그러나 입, 출력 관계를 잘못 파악하여  $y(t)$ 를 입력으로  $x(t)$ 를 출력으로 구성한 선형계  $H_{yx}(f)$ 는 물리적으로 실현 불가능하며,  $H_{yx}(f)$ 로부터 얻어지는 충격응답함수  $h_{yx}(t)$ 는 음의 시간 영역에서 더이상 '0'이 아닌 어떤값을 갖게된다

[6].

또한 이를 주파수 영역에서 살펴보면  $H_{xy}(f)$ 의 실수부와 허수부는 서로 독립이 아닌 힐버트 관계를 갖는다 [5, 8].

$$\begin{aligned}\text{Im}[H_{xy}(f)] &= \frac{1}{\pi f} * \text{Re}[H_{xy}(f)] \\ &= H.T.[\text{Re}[H_{xy}(f)]]\end{aligned}\quad (5)$$

물리적으로 실현 가능한 계인  $H_{xy}(f)$ 의 경우는 실수부와 허수부의 힐버트 관계가 성립하나 입. 출력 관계가 잘못 정의된  $H_{xy}(f)$ 에서는 더이상

힐버트 관계가 성립하지 않는다. 따라서 두 신호 사이의 입. 출력 관계에 대한 우선순위는 두 신호 사이에 구성되는 선형계의 특성인 충격응답함수와 힐버트 관계로부터 파악될 수 있다.

#### 4. 승용차의 실내 소음원 규명

##### 4.1. 실험 방법

다입력/단일출력 모형을 적용하여 공회전시 승용차의 실내 소음을 발생시키는 소음원을 규명하고자 한다. 실험용 차량은 3기통 소형 승용차로써 공회전 (900~1000 RPM) 상태에서 발생되는 운전석 위치에서의 음압신호를 출력으로 하고 흡, 배기구, 엔진 블럭 등 소음 및 진동을 유발할 수 있는 여러 요소들로부터 측정되는 음압 혹은 진동 신호를 입력으로 하여 모형을 구성하였다. 16채널 테이프 레코더를 사용하여 측정된 신호를 기록하였고, 신호 분석은 LMS 및 PC를 사용하였다.

##### 4.2. 입력, 출력의 선정

공회전시 발생하는 실내소음은 주로 500Hz 이하에 존재므로 (그림 1) 이 영역에서 다입력/단일출력 모형을 통한 소음/진동원 및 전달경로

를 규명하였다. 여기서는 공회전수와 관련하여 입력들간에 상관관계가 크게 존재하는 저주파 영역 (35-65Hz)에 대해 살펴 보기로 한다.

몇가지 신호분석을 통하여 표1과 같이 운전석 위치에서의 음압신호에 영향을 줄 것으로 예상되는 7개의 입력신호를 선정하였다. 이들 입력 신호로부터 얻어진 출력 신호에 대한 다중기여도함수는 그림 2와 같이 0.7이상으로 크게 나타나므로 이로부터 공회전시 실내 소음의 원인이 되는 입력들의 선정이 적절하다고 판단하였다.

##### 4.3. 입력들의 우선순위의 결정

입력신호들은 공회전 수와 관련된 주파수 이외에도 관심 주파수 영역에서 상호상관에 의해 상당히 큰 기여도 함수 값을 갖는다. 따라서 이러한 입. 출력계에 다입력/단일출력 모형을 적용하기 위해서는 먼저 입력들에 적절한 우선순위를 부여하여야 한다. 이를 위해서 주파수 응답함수의 힐버트 관계와 충격응답함수의 이용은 대역 통과 필터 (Band Pass Filter)의 사용에 따른 오차를 유발하게 된다 [6]. 본 연구에서는 입력들 사이의 전달함수에 대해 힐버트 관계를 파악하여 인과관계를 결정하였으며 부가적으로 충격응답함수를 사용하였다. 엔진 헤드와 소음기의 경우, 그림 3.a에서와 같이 두 신호 사이의 상관관계는 무시할 수 없을 정도로 존재하며, 이러한 상관관계는  $h_{xy}(t)$ 와  $h_{yx}(t)$ 의 특성 (그림 3.b)과 힐버트 관계 (그림 3.c)를 살펴봄으로써 엔진 헤드의 진동 신호가 소음기의 진동 신호에 대해 입력으로 작용하고 있음을 알 수 있다. 마찬가지로 배전기와 대시 판넬의 경우에는 그림 4로부터 대시 판넬의 진동신호에 대해 배전기의 진동 신호에 우선순위를 둘 수 있다. 그러나 엔진 헤드와 발전기의 경우, 두

신호 사이의 위상을 살펴 보면 35 ~ 65Hz 사이에서 거의 일정함을 볼 수 있다(그림 5). 이 경우 두 신호 사이의 관계는 인과관계가 아니라 엔진 블럭의 강체 운동에 의해 나타난 것으로 판단되었다.

#### 4. 4 부분 기여도함수에 의한 소음원 규명

앞 절로부터 소음/진동원과 전달경로에 대한 신호의 흐름은 엔진 헤드, 발전기등 엔진블럭의 진동 신호들이 공기 정화기, 소음기등을 통하여 대시 판넬에 영향을 준다고 판단할 수 있었다. 따라서 입력간의 우선순위와 이에 따른 부분 기여도함수의 적용이 가능하며 이 때 얻어지는 각 입력들의 부분 기여 출력 스펙트럼을 표2와 같이 구할 수 있다. 인과관계에 따른 우선순위를 부여하지 않고 주파수 응답함수를 이용하여 구한 기여 출력 스펙트럼과 부분 기여도함수 기법을 적용한 부분 기여 출력 스펙트럼을 비교해 보면, 소음/진동원의 출력에 대한 기여 정도가 전혀 다르게 나타남을 알 수 있다. 주파수 응답함수 기법을 적용한 경우 각 입력들의

출력에 대한 기여 정도는 2~3 dB정도의 차이만 존재하며 그 중에서도 대시 판넬의 기여가 가장 크게 나타난다. 또한 기여출력 스펙트럼의 합이 출력측의 소음 레벨보다 훨씬 크게 과대평 가 되고 있음을 알 수 있다. 그러나 입력간의 우선순위를 고려하게 되면, 대시 판넬의 경우 다른 소음원들의 영향이 제거되어 출력에 대한 기여정도가 적어지고, 반면 전체적으로 엔진 블

표1. 다입력/단일출력 모형의 입,출력 신호

|        | 측정위치        | 35-65[Hz]   | 0-500[Hz]   |
|--------|-------------|-------------|-------------|
| 입<br>력 | 엔진 헤드(VAL)  | 78.8[dB]    | 107.8[dB]   |
|        | 배전기( " )    | 76.8 [ " ]  | 106.2 [ " ] |
|        | 대시판넬( " )   | 65.1 [ " ]  | 93.6 [ " ]  |
|        | 발전기( " )    | 74.5 [ " ]  | 103.6 [ " ] |
|        | 공기 정화기( " ) | 83.9 [ " ]  | 102.2 [ " ] |
|        | 소음기( " )    | 76.7 [ " ]  | 100.8 [ " ] |
|        | 배기구(SPL)    | 68.3 [ " ]  | 86.7 [ " ]  |
| 출력     | 운전석(SPL)    | 26.2[dB(A)] | 52.9[dB(A)] |

표2. 각 입력들의 기여 출력 스펙트럼과 부분 기여 출력 스펙트럼의 비교

|        | 기여출력스펙트럼[dB(A)] |           | 부분기여출력스펙트럼[dB(A)] |           |
|--------|-----------------|-----------|-------------------|-----------|
|        | 35-65[Hz]       | 0-500[Hz] | 35-65[Hz]         | 0-500[Hz] |
| 엔진 헤드  | 23.8            | 51.7      | 23.8              | 51.7      |
| 배전기    | 23.6            | 51.6      | 14.6              | 40.0      |
| 대시판넬   | 25.4            | 51.6      | 18.5              | 37.1      |
| 발전기    | 23.0            | 51.0      | 9.3               | 36.4      |
| 공기 정화기 | 24.3            | 51.8      | 17.5              | 40.6      |
| 소음기    | 24.6            | 51.9      | 18.2              | 39.5      |
| 배기구    | 24.5            | 52.0      | 13.5              | 39.4      |
| 합계     | 32.7            | 60.1      | 26.9              | 52.9      |
| 운전석    | 26.2            | 52.9      | 26.2              | 52.9      |

력의 진동이 가장 중요한 소음원으로 나타난다. 그리고 60~65Hz 사이에서는 소음기와 대시 판넬에 의한 진동이, 38~42Hz 사이에서는 공기 정화기에 의한 진동이 주요 소음원으로 작용함을 알 수 있다(그림 6). 또한 신호들의 인과관계로부터 대시 판넬등은 소음/진동의 전달 경로의 역할을하는 것으로 이해될 수 있으며 이로부터 소음/진동원과 전달 경로에 대한 적절한 대책을 세울 수 있겠다.

## 5. 결론 및 고찰

다입력/단일출력 모형을 이용하여 소음/진동원을 규명할 때 입력들간의 상관관계가 존재하면 이를 사이의 우선순위 결정은 매우 중요한 문제가 된다. 본 실험에서는 이러한 상관관계를 입력들간에 구성되는 선형계  $H_{xy}(f)$ 로부터 힐버트 관계와 충격응답함수의 특성을 살펴보아서 우선순위를 결정하였으며, 부분 기여도함수 기법을 적용하여 차량의 실내 소음원과 전달경로에 대한 정보를 얻을 수 있었다. 그러나 충격응답함수와 전달함수의 힐버트 관계를 이용한 우선순위 결정법의 상대적인 차이점, 오차등에 대해서는 앞으로 더 연구 되어야 할 과제이다.

5. J. S. Bendat and A. G. Piersol, RANDOM DATA: Analysis and Measurement Procedures. (New York : Wiley - Interscience, 1986.)
6. 박정석, 박사학위논문, 한국과학기술원, 1992.
7. J. S. Park and K. J. Kim, Mechanical Systems and Signal Processing, Vol. 6, No. 6, pp491-502, 1992.
8. A Papoulis, The Fourier Integral and Its Applications, (McGraw - Hill, 1962).

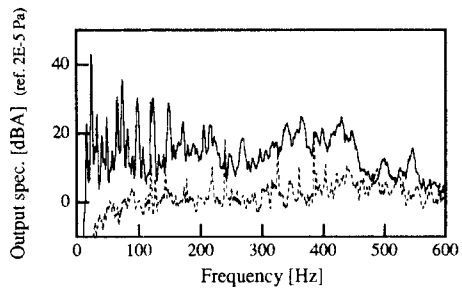


그림 1. 운전석의 소음 레벨; —— 공회전시 소음 레벨, ..... 압소음 레벨

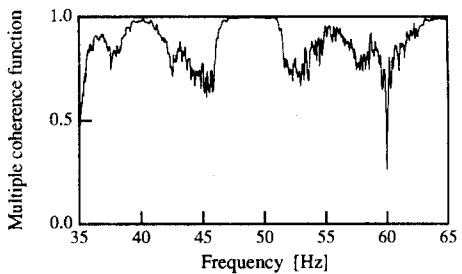
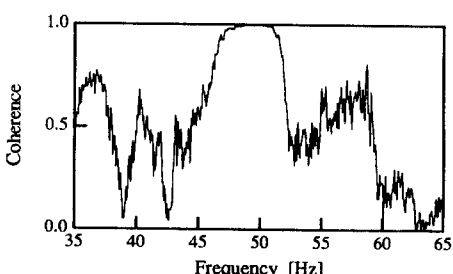


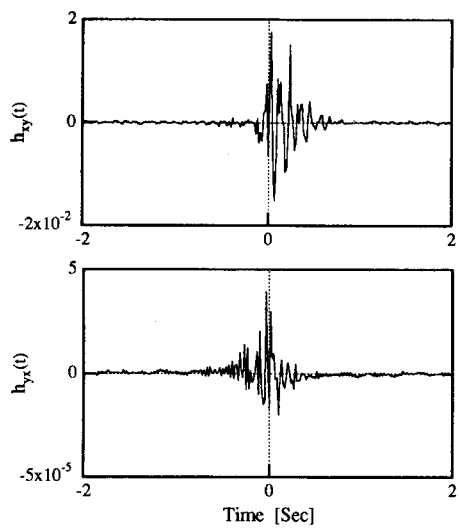
그림 2. 7입력/1 출력 모형의 다중 기여도 함수

## 참고문헌

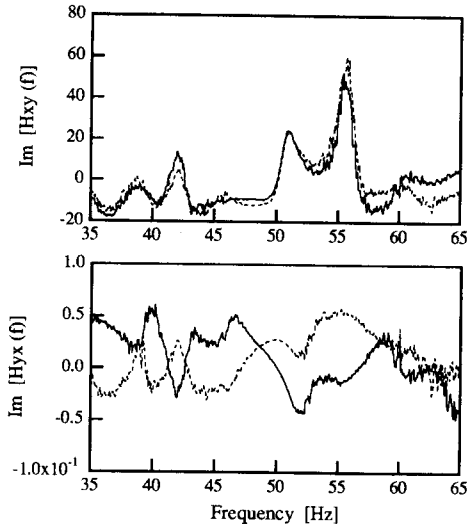
1. A. F. Seybert et al., Transactions of ASME, J. Engineering for Industry, Nov., 1227-1233, 1975.
2. R. J. Alfredson, J. Sound and Vibration 55 (4), 487-494, 1977.
3. M. W. Trethewey, et al., J. Noise Control Engineering, Nov. - Dec., 89-102, 1983.
4. J. S. Bendat, J. Acoust. Soc. Am. 68 (2), 498-503, 1980.



a. 엔진 헤드와 소음기 신호 사이의 기여도 함수



b. 충격응답함수  
위 :  $h_{xy}(t)$  아래 :  $h_{yx}(t)$



c. 전달함수의 힐버트 관계 ;  
Im[H(f)], ..... H.T.[Re[H(f)]]  
위 :  $H_{xy}(f)$  아래 :  $H_{yx}(f)$

그림 3. 입력간의 우선순위 결정  
(X : 엔진 헤드, Y : 소음기)

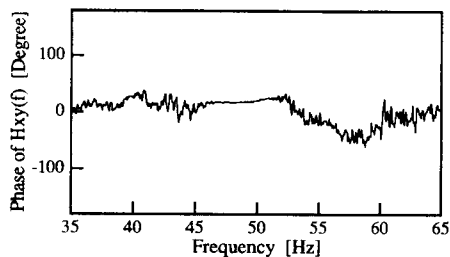


그림 5. 전달함수  $H_{xy}(f)$ 의 위상  
(X : 엔진 헤드, Y : 발전기)

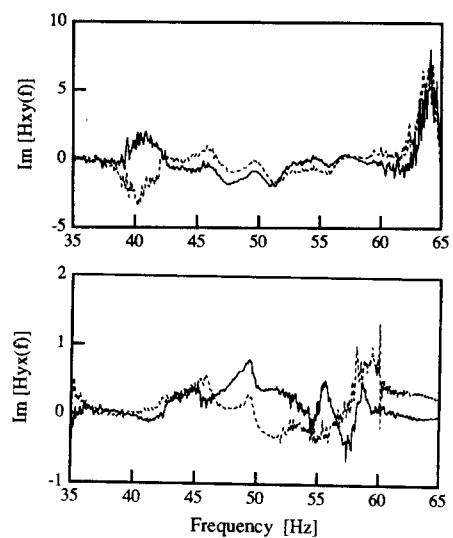


그림 4. 전달함수의 힐버트 관계 ;  
Im[H(f)], ..... H.T.[Re[H(f)]]  
(X : 배전기, Y : 대시 판넬)  
위 :  $H_{xy}(f)$  아래 :  $H_{yx}(f)$

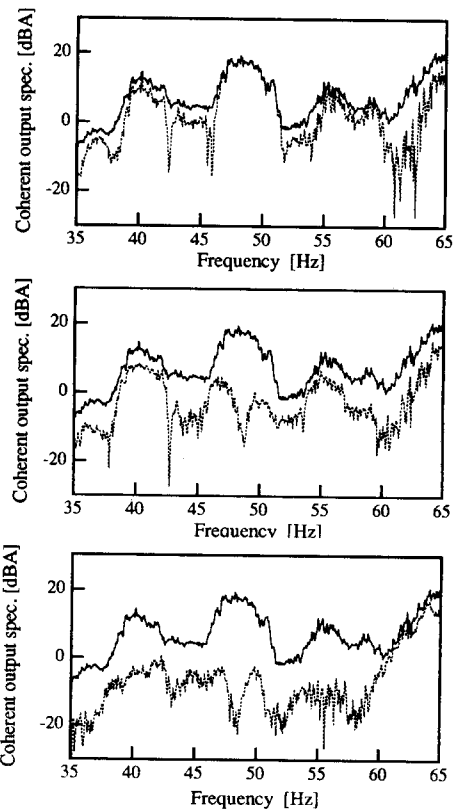


그림 6. 각 입력들에 의한 부분 기여출력 스펙트럼 ;  
운전석 소음, ..... 부분 기여출력 스펙트럼

위 : 엔진 헤드, 중간 : 공기 정화기, 아래 : 대시판넬